

## 構造物の最大応答の確率分布について

京都大学工学部 正会員 龍田弘行

1. まえがき 地震動は一般に時間的に不規則に変動し、その波形を確定関数として表現する：ことが困難である。構造物の耐震解析に際してある地震動を想定するとしても、比較的確かなものとして選定できるパラメーターは、振幅の分布、周期特性、強度の時間的消長に関する平均的な性質程度である。したがって、実地震記録を用いるにせよ、人工的な模擬地震波を用いるにせよ、構造物の地震応答解析の結果を耐震設計という将来の荷重の問題に外延するに当っては、設計に関する応答量の、平均値のまわりでのばらつきを考慮することが必要となる。そのためには、不規則振動論の立場から問題を取り扱い、将来の地震荷重の下で構造物が破壊しない確率（非破壊確率）を求めておくことが重要である。ここで取り扱う最大応答の確率分布は、最大応答量にある許容値を設定しようとする設計法においてはそのまま非破壊確率を表わす重要な確率量であるが、その理論的取り扱いの困難さから、きわめて簡単な仮定に基づく解析がなされてきた。<sup>1)~3)</sup>著者らはそれらの仮定をも特殊な場合として包含し、さらに精度を向上させるよう、より一般的な近似解法を、純生過程の微分方程式から導き、<sup>4), 5)</sup>その結果を地震動を模擬する非定常確率過程入力に対する線形／自由度系の最大応答の問題に適用した<sup>6)</sup>。その後行なった精度の検討の結果、この方法によても、あるパラメーター領域では十分な精度が得られないことがわかったので、そのような場合に対しては異なった観点から、peak envelope distribution による解法を考えた。以下、それらの結果について報告する。

### 2. 地震動の表現

$\dot{g}(t)$  を平均値ゼロで分散  $\beta^2$  なる無次元の正規定常確率過程、 $f(t, \tau)$  を最大値 1 なる正の確定関数、 $\beta$  を加速度の次元を有する定数とし、地震加速度  $\ddot{g}(t)$  を次式で表わす。

$$\ddot{g}(t) = \beta f(t, \tau) g(t) \quad \cdots \cdots (1)$$

$f(t, \tau)$  としては次のような形を採用する。

$$f(t, \tau) = \frac{(1+\frac{\tau}{\tau_0})^{(1+\frac{1}{\beta^2})}}{\pi} e^{-st} (1 - e^{-\frac{s}{\tau_0} t}) \quad \cdots \cdots (2)$$

さらに、 $g(t)$  のパワースペクトル密度  $S_g(\omega)$  には次式を用いる。

$$S_g(\omega) = \frac{4\hbar_0}{\pi\omega_0} \frac{(\frac{\omega}{\omega_0})^2}{\{1 - (\frac{\omega}{\omega_0})^2\}^2 + 4\hbar_0^2(\frac{\omega}{\omega_0})^2} ; \quad \omega_0 = \frac{2\pi}{T_0}, \quad T_0: \text{卓越周期} \quad \cdots \cdots (3)$$

式(1)で表わされる地動  $\ddot{g}(t)$  が、分散  $\beta^2$  なる定常確率過程から時間  $\tau$  の部分を切出したものと最大加速度の期待値  $\alpha_m = E[\dot{g}]$  を等しくする場合、この  $\tau$  を  $\ddot{g}(t)$  の等価継続時間と定義すると、近似的に次式をうる。<sup>6)</sup>

$$\frac{S}{\omega_0} = C (\tau/T_0)^{-1.09} \quad \cdots \cdots (4)$$

$C$  は  $\tau$  によって定まる係数<sup>6)</sup>で、本報告では  $C = 0.077$  を用いている。

### 3. 線形 / 自由度系の応答標準偏差

前節で設定した地震動が線形 / 自由度系で表わされる構造物に作用した場合の相対応答変位  $y(t)$  より速度  $\dot{y}(t)$  の標準偏差<sup>6)</sup>

$\delta_y(t)$ ,  $\delta_{\dot{y}}(t)$  を図-1 に示す。同図の時間軸は、地震動の等価継続時間で無次元化してある。

同図において、 $\delta_y(t)$ ,  $\delta_{\dot{y}}(t)$  が最大値となる時刻は、地震動の強度が最大となる時刻  $t_m$  より遅れて現れており、この傾向は  $T_n$  が小さいか固有周期  $T_n$  が大きくて地震動が相対的に衝撃的なほど、減衰定数  $h_n$  が小さくて初期条件の影響が長時間に及ぶほど著しいことが注目される。

### 4. 純出生過程による最大応答の確率分布の近似解

対象とする応答量を  $y(t)$ 、その絶対最大応答を  $Y$  とすると、 $Y$  の確率分布  $\pi(Y)$  は次式で表される。

$$\pi(Y) = P[\max|y(t)| \leq Y; 0 \leq t < \infty] \quad \text{--- (5)}$$

純出生過程の基礎微分方程式を解いた結果を式(5)に代入し、さらに応答の時間的相関について近似的評価を行なって、式(5)に対する近似式が次のようにならう<sup>4), 5)</sup>。

$$\pi(Y) \cong P[|y(0)| \leq Y] \exp \left\{ - \int_0^\infty \bar{C}_0(Y, t) dt \right\} \quad \text{--- (6)}$$

$$\bar{C}_0(Y, t) = Q_1(Y, t) / Q_2(Y, t)$$

$$Q_1(Y, t) = \frac{\delta_y}{\delta_{\dot{y}}} \int_{-Y/\delta_{\dot{y}}}^{Y/\delta_{\dot{y}}} d\tilde{\xi}_1 \int_{-Y/\delta_{\dot{y}}}^{Y/\delta_{\dot{y}}} d\tilde{\xi}_2 \cdots \int_{-Y/\delta_{\dot{y}}}^{Y/\delta_{\dot{y}}} d\tilde{\xi}_n \left\{ \int_0^t |\phi_n(\tilde{\xi}_1, \tilde{\xi}_2, \dots, \tilde{\xi}_n, -\frac{Y}{\delta_y}, \tilde{\xi}_t) d\tilde{\xi}_t \right. \\ \left. + \int_0^\infty \phi_n(\tilde{\xi}_1, \tilde{\xi}_2, \dots, \tilde{\xi}_n, \frac{Y}{\delta_y}, \tilde{\xi}_t) d\tilde{\xi}_t \right\} d\tilde{\xi}_r \quad \text{--- (7)}$$

$$Q_2(Y, t) = \int_{-Y/\delta_{\dot{y}}}^{Y/\delta_{\dot{y}}} d\tilde{\xi}_1 \int_{-Y/\delta_{\dot{y}}}^{Y/\delta_{\dot{y}}} d\tilde{\xi}_2 \cdots \int_{-Y/\delta_{\dot{y}}}^{Y/\delta_{\dot{y}}} d\tilde{\xi}_n \int_{-Y/\delta_{\dot{y}}}^{Y/\delta_{\dot{y}}} \phi_{2n}(\tilde{\xi}_1, \tilde{\xi}_2, \dots, \tilde{\xi}_n, \tilde{\xi}_t) d\tilde{\xi}_t \quad \text{--- (8)}$$

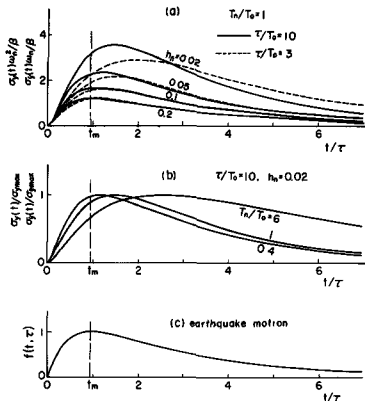
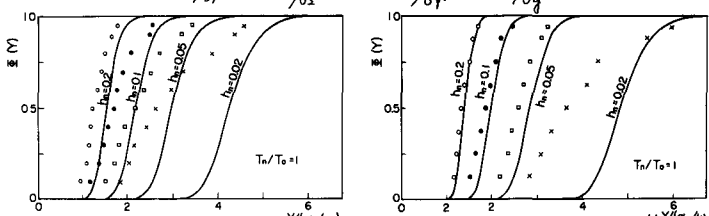


図-1 地震応答の標準偏差

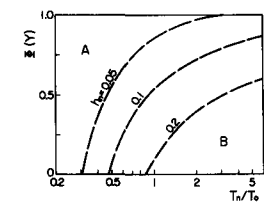
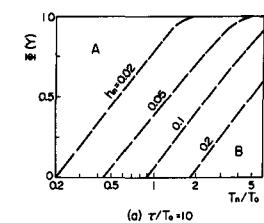
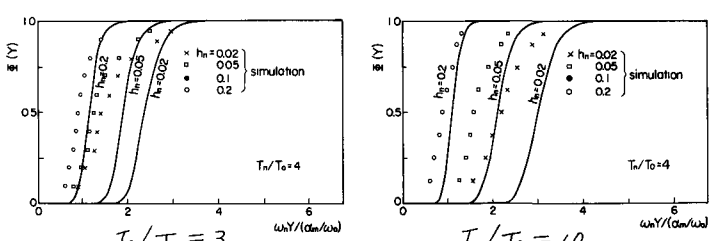


図-2 最大地震応答の確率分布（純出生過程による解法）

図-2 最大地震応答の確率分布（純出生過程による解法）

ただし、 $\bar{y}_i = \bar{y}(t_i)/\delta y_i$ ,  $\delta y_i^2 = E[\bar{y}^2(t_i)]$ ; ( $i=1, 2, \dots, r$ ),  $\bar{y}_k = \bar{y}(t)/\delta y_k$ ,  $\delta y_k^2 = E[\bar{y}^2(t)]$  ,  
 $\bar{y}_i = \bar{y}(t)/\delta y_i$ ,  $\delta y_i^2 = E[\bar{y}^2(t)]$  ,  $t_i$  は  $0 \leq t_i < t_1 < \dots < t_i < \dots < t_r < t$  なる任意の時刻であり,  
 $\phi_{1n}(\bar{y}_1, \bar{y}_2, \dots, \bar{y}_r, \bar{y}_k)$  および  $\phi_{2n}(\bar{y}_1, \bar{y}_2, \dots, \bar{y}_r, \bar{y}_k)$  はそれぞれの変数の同時確率密度関数である。 $\bar{y}(t)$  が正規分布をなす場合には、式(7), (8) の積分回数を 1 回減らすことができる。

かくして得られた歪(Y) の近似解の例を図-1 に示した。ここでは、式(7), (8) で  $r=1$  とした第二次近似を用いており、 $t_i = t - T_n/2$  としている。また同図には、併せて行なったシミュレーションによる実験値も示してある。これらの結果からわかるように、出生過程による近似解は  $\phi_{1n}$ ,  $T_n/T_0$  が大きいほど、 $\tau/T_0$  が小さいほど精度が低下する。その原因としては次のようないくつかの事項が考えられる。  
i)  $\phi_{1n}$  が小さくなると、かなり離れた時刻 (たとえば  $T_n$  の数倍) の間でも応答間に高い相関があり、ここで用いた近似解法でも十分な精度が期待できない。ii)  $\tau/T_0$  が小さいか、 $T_n/T_0$  が大きくなると、図-1において、 $\delta y(t)$  が最大値をとる時刻には  $y(t, \tau)$  はすでにかなり減少していることから、それ以後の応答は、減衰自由振動の影響が強いと考えられる。したがって、この部分も最大応答値に貢献すると考える本解法では、最大応答を過大に推定する結果となる。

以上の結果において、たとえば図-1 の  $\phi_{1n}=0.05$ ,  $T_n/T_0=1$ ,  $\tau/T_0=10$  の場合を許容しうる誤差の限度とすれば、純出生過程による解法を適用できる範囲は図-3 の A 領域として示される。たとえば、図-3 (a)において、 $\phi_{1n}=0.1$ ,  $T_n/T_0=8$  であれば、この解法は  $\text{歪}(Y) > 0.4$  の範囲で適用可能である。

### 5. peak envelope distribution による最大応答の確率分布の近似解

純出生過程による近似解の精度が低下するパラメーター領域では、その原因として前述した事項からわかるように、 $\delta y(t)$  が最大値  $\delta y_{\max}$  をとる時刻前後の応答のみが最大応答に関与し、それ以後の応答は主として自由振動によるものとして無視するような解法が望ましい。ここでは、S.O.Rice が定常過程に対して導いた peak envelope distribution の方法を応用する。

不規則外力に対する構造物の応答は、一般に固有周期に近い周期で振動する狭帯域の確率過程となり、図-4 のように振動周期と比較してゆるやかに変動する包絡線  $W(t)$  を持つ。包絡線  $W(t)$  の極値は、それが発生した時刻前後の応答  $y(t)$  の絶対最大値とみなしてよいから、 $\delta y(t)=\delta y_{\max}$  とする時刻近傍における  $W(t)$  の極大値が地震動に対する最大応答を表わすものと考える。狭帯域の確率過程における包絡線の極値の確率分布は S.O.Rice<sup>7)</sup> によって取り扱われ、定常過程に対する解が与えられている。本研究では構造物の応答は非定常であるが、本節で問題にしている  $\delta y(t)$  が最大値をとる時刻前後では、 $y(t)$  はほぼ定常過程とみなせられ、Rice の結果を構造物の応答に適用して解析を進めた結果、最大応答の確率密度関数  $\phi_E(Y)$  が次のよう

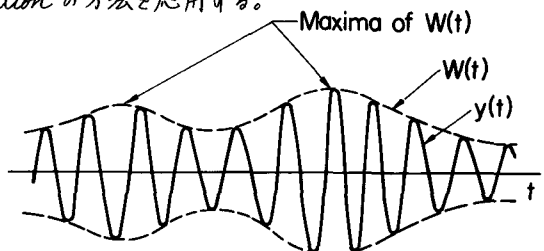


図-4 応答の包絡線  $W(t)$  の極値 (peak envelope)

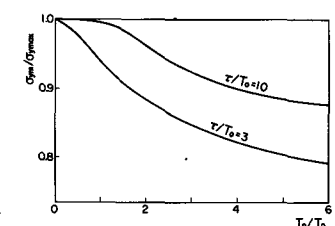


図-5  $\delta y$  と  $\delta y_{\max}$  の換算

$$\phi_E(Y) = \frac{1}{4\delta y_m \sqrt{\alpha^2 - 1}} \exp\left\{-\alpha^2 Z^2 \left(\frac{Y}{\delta y_m}\right)^2\right\} \sum_{n=0}^{\infty} \frac{Z^n A_n}{\Gamma\left(\frac{n}{2} + \frac{7}{4}\right)} \left(\frac{Y}{\delta y_m}\right)^n / \sum_{n=0}^{\infty} \frac{\Gamma\left(\frac{n}{2} + \frac{5}{4}\right) A_n}{\Gamma\left(\frac{n}{2} + \frac{7}{4}\right) \alpha^n} \quad \dots \quad (9)$$

$$A_n = \begin{cases} 1, & n=0 \\ \frac{n+1+\sum_{m=1}^n \frac{n}{2} \left(\frac{1}{2}\right) \cdots \left(\frac{m-1}{2}\right)}{m} (n-m+1) \alpha^m, & n>0 \end{cases}$$

$$B = \frac{1}{2}(3-\alpha^2), \quad \alpha^2 = \frac{\Gamma\left(\frac{1}{4}\right)\Gamma\left(\frac{5}{4}\right)}{\Gamma^2\left(\frac{3}{4}\right)}, \quad Z = \left[ \Gamma\left(\frac{3}{4}\right) \{2\sqrt{\Gamma\left(\frac{1}{4}\right)\Gamma\left(\frac{5}{4}\right)} - \Gamma^2\left(\frac{3}{4}\right)\} \right]^{1/2}$$

式(9)を用いると、最大応答の確率分布は次式より算出される。

$$\bar{\psi}(Y) \cong \bar{\psi}_E(Y) = \int_0^Y \phi_E(Y) dY \quad \dots \quad (10)$$

式(9)の中の  $\delta y_m$  は、応答強度が最大となる前後における  $y(t)$  の平均的な値であり、数値計算の結果から、図-5によって  $\delta y_{max}$  から換算すればよいことがわかつて。  
このようにして peak envelope distribution から得られた最大応答の確率分布の計算例を図-6に示した。また、図-3と同様にして peak envelope distribution による解法の適用範囲を示したのが図-7である。図-2と図-5、あるいは図-3と図-7を比較すると、純出生過程による解法の精度が低下する範囲では peak envelope distribution による解法の精度が良く、逆に純出生過程による解法の精度が良い範囲、すなわち応答  $y(t)$  が全継続時間にわたってランダムな性質を持つ場合には、peak envelope distribution による解法の精度が悪化する：ことがわかる。

6. ますび 最大地震応答に関する二つの解法について考察したが、一般に、比較的短周期の構造物に定常的な地震動が作用する場合には純出生過程による解法、比較的長周期の構造物に衝撃的な地震動が作用する場合には peak envelope distribution による解法が優れているといふえる。

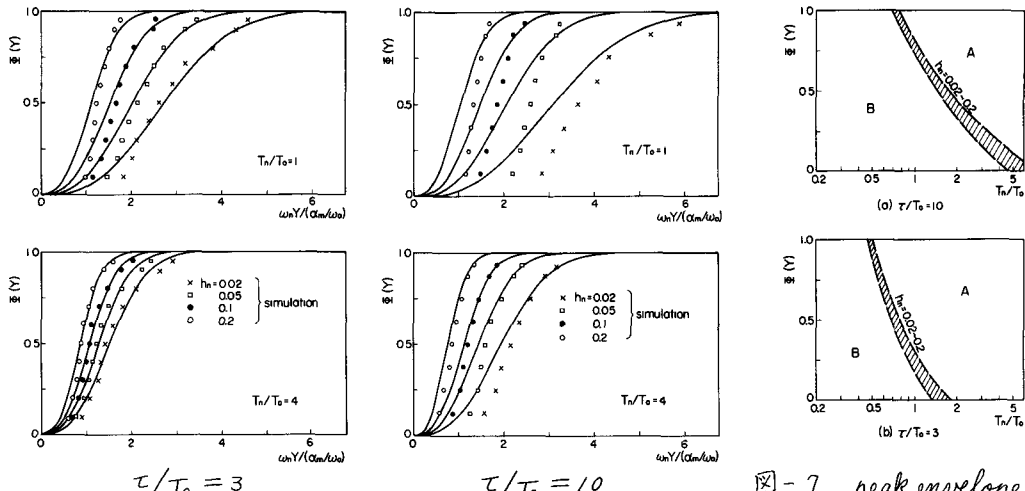


図-6 最大地震応答の確率分布 (peak envelope distribution)

図-7 peak envelope による解法の適用範囲

1) Davenport: Proc. ICE, Vol. 19, 1961, 2) 小松: 土木学会論文集, 142号, 昭. 42.

3) 山田・竹宮: 土木学会論文報告集, 172号, 昭. 44, 4) 後藤・龜田: 京大防災研年報, 11号, 昭. 43, 5) 同, 12号, 昭. 44,

6) 龜田: 土木学会年次学術講演会, I-175, 昭. 45, 7) Rice: Selected Papers on Noise and... (Max編), Dover, 1954.